LIX

1974

УДК 621 382.2

ФИЗИКА

Член-корреспондент АП Армянской ССР Г. М. Авакьяни, В. М. Арутюнин

К теории эффекта Ганна в сильнолегированных полупроводниках

(Представлено 26/Х1 1973)

форма и скорость домена в диоде Ганна зависит от равновесной концентрации электронов n_0 , длины образца L, приложенного к образцу напряжения V и параметров материала. В домене отклонение концентрации электронов n от равновесной сравнительно мало для больших значений n_0 , полное обеднение не достигается и поэтому поле в домене в сильнолегированном образце, рассматриваемом ниже, симметрично. Это позволяет мысленно "зафиксировать, такой домен, называемый ниже симметричным доменом сильного поля (СДСП), в середине образца и разделить образец на две половины. В $x=\frac{L}{2}$ напряженность электрического поля СДСП максимальна (E_m).

На основании уравнения Пуассона, можно получить

$$\frac{1}{2}L = \int_{0}^{L} dx = \int_{E_{1}}^{E_{m}} \frac{D}{\rho} dE, \tag{1}$$

где L_1 — наприженность электрического поля в образце вне СДСП (при $n=n_0$), $D=\frac{1}{4\pi}$ — диэлектрическая постоянная, $\rho=-e(n-n_0)$

Плотность объемного заряда, е — заряд электрона.

Предполагается отсутствие в рассматриваемом случае дырок и процессов, приводящих к созданию избыточных носителей тока (ударной ионизации, инжекции, освещения). Если опустить в уравнении сохранения электронов члены, учитывающие генерацию и рекомбинацию, имеем:

$$\frac{\partial n}{\partial t} - \frac{\partial}{\partial x} \left[n v_n(E) + D_n \frac{dn}{dx} \right] = 0. \tag{2}$$

гле $v_n(E)$ — дрейфовая скорость, а D_n — коэффициент диффузик электронов, ℓ — время. Для упрощения задачи принято D_n = const. Переходя в систему движущегося домена, получаем уравнение (для омических контактов)

$$\frac{D_n}{D} \rho \frac{d\rho}{dE} = e n_e \left[v_n(E) - v_n(E_1) \right] - e K - \left[u + v_n(E) \right] o. \tag{3}$$

Здесь
$$K=D_n \frac{dn}{dy}\Big|_{t=E_1}$$
, и —скорость домена. (4)

Решение уравнения (3) ищем в виде ряда

$$\rho = \rho_0 + \rho_1 + \tag{5}$$

пирем

$$v_0^2 = \frac{2D}{D_n} \int_{E_1}^{E} \left| e n_0 \right| v_n(E) - v_n(E_1) \left| -eK \right| dE, \tag{6}$$

$$\rho_1 = -\frac{r_0^2}{3en_0} - \frac{1}{\rho_0} \int_{E_1}^{E} \rho_0 \frac{D}{D_n} \left| u + v_n(E_1) + \frac{K}{n_0} \right| dE.$$
 (7)

В максимуме поля $v_m = 0$. Это приводит к условиям:

$$\int_{E_{1}}^{E_{m}} \left| v_{n}(E) - v_{n}(E_{1}) \right| - eK \left| dE = 0, \right|$$
 (8)

$$u + v_n(E_1) + \frac{K}{n_0} = 0. (9)$$

Рассмотрим "трехпрямолинейную, аппроксимацию зависимости дрейфовой скорости электронов от E (рис. 1).

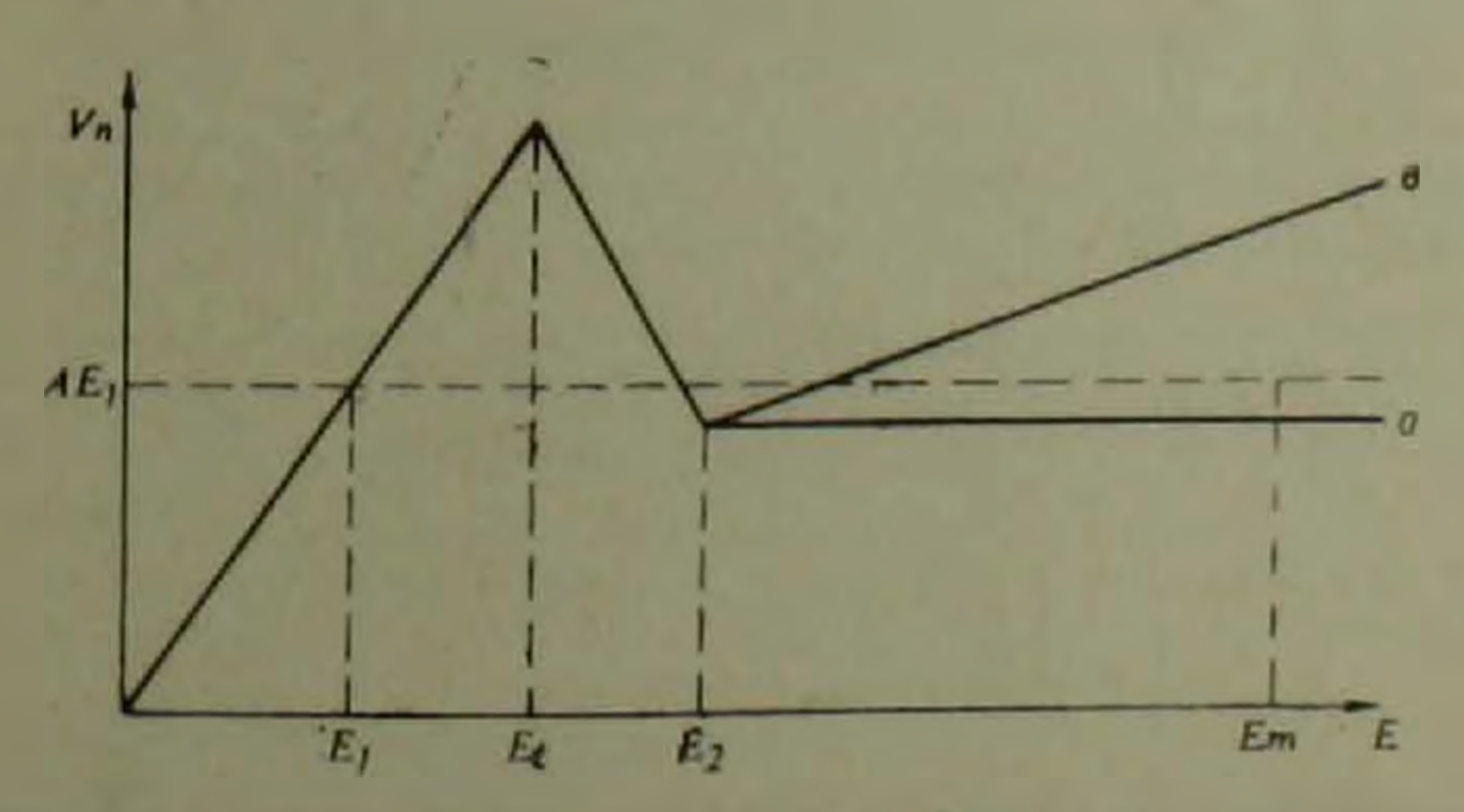


Рис. 1. Аппроженнация зависимости дрейфовой скорости электронов от напряженности электрического поля согласно формулам (10) — а и (27)—в

$$v_1 = AE$$
 upu $E_1 = E \setminus E_\ell$
 $v_{11} = B(E_\ell - E) AE_\ell$ upu $E_\ell \leqslant E \setminus E_2$ (10)

 $v_{111} = CE_2$ upu $E_2 \setminus E \setminus E_m$

Из правила геометрически равных площадей (8) можно получить

$$2(E_m - E_2)(M - CE_2) = (2C + B\Phi)E_2^2 - 2M(E_2 - E_1) - AE_1^2, \tag{11}$$

где

$$M = AE_1 + \frac{K}{n_0}, \quad \Phi = 1 - \frac{C + B}{B} \cdot \frac{E_1}{E_2}.$$
 (12)

Представим интеграл, входящий в (1), в виде

$$\int_{E_1}^{E} \frac{dE}{\rho} = \int_{E_1}^{E_1} \frac{dE}{\rho_{01}} + \int_{E_1}^{E_2} \frac{dE}{\rho_{02}} + \int_{E_2}^{E} \frac{dE}{\rho_{03}},$$
(13)

 ρ_{01} , ρ_{02} и ρ_{03} в котором легко получить, подставляя в (6) спответственно одно из трех значений $v_n(E)$ из (10). Тогда имеем

$$\frac{L-L_0}{2r_D} = \sqrt{\frac{2A(E_m - E_2)}{M - CE_2}} + \sqrt{\frac{A}{B}} \quad \left| \arcsin \frac{AE_t - M}{\sqrt{B}} - \frac{CE_2 - M}{\sqrt{E}} \right|$$

$$-\arcsin \frac{CE_2 - M}{\sqrt{E}} \qquad (14)$$

где $B = (M - CE_2)^2 + 2B(M - CE_2)(E_m - E_2) = (AE_t - M)^2 + BE_t(AE_t - 2M) + BE_t(2M - AE_t).$

$$L_0 = 2r_D \ln \left\{ 1 - \frac{n_0 A(E_t - E_1)}{K} \left[1 + \sqrt{1 - \frac{2K}{An_0(E_t - E_1)}} \right] \right\}. \tag{16}$$

(15)

$$r_D = \sqrt{\frac{DD_n}{en_0 A}}$$
 —дебаевский радиус экранирования. (17)

Ограничиваясь первым членом в разложении арксинуса, что возможно при $\sqrt{E} > AE_L - M - M - CE_2$, получаем

$$\frac{L-L_0}{2r_D} = \sqrt{\frac{2A(E_m - E_2)}{M - CE_2}} \left[1 + \frac{E_2 - E_1}{2(E_m - E_2)} \right]$$
 (18)

Так как
$$\frac{1}{2}V = \int_{E_1}^{E_0} \frac{DEdE}{\rho_0}.$$
 (19)

то используя тот же подход и приближение, как при получении (18). имеем

$$\frac{V-V_{0}}{2r_{0}} = \sqrt{\frac{2A(E_{m}-E_{1})}{M-CE_{1}}} \left\{ \frac{2}{3} (E_{m}-E_{2}) - \left[1 - \frac{E_{1}-E_{1}}{2(E_{m}-E_{2})} \right] - \frac{M-(C+B)E_{2}}{B} \right\}$$
(20)

где

$$V_{0} = 2r_{D} \left[\frac{M}{A} L_{0} + \left(1 + \frac{B}{A} \right) \left(E_{I} - E_{1} \right) \right] \sqrt{1 - \frac{2K}{An_{0}(E_{I} - E_{1})}} . (21)$$

Ниже, для определения E_1 , $\frac{k}{n}$ и E_m , используются уравнения (11), (18) и (20). Так как

$$j \approx j_n = e n_0 A E_1 + e D_n \frac{dn}{dx} \Big|_{E_1} = e n_0 \left(A E_1 + \frac{K}{n_0} \right).$$
 (22)

имеем для вольт-ямперной характеристики диода Ганна выражение

$$j = e n_0 M. \tag{23}$$

Рассмотрим ниже конкретные приближения. Заметим, что конечным соотношениям можно придать разную форму. Результаты анализа приведены в табл. 1.

Таблица 1

Взаимосвязь скорости домена M, максимальной напряженности электрического поля E_m , шприны домена $L-L_0$ и среднего напряжения в нем друг с другом и их зависимости от параметров материала.

Nº.	M-CE2	$E_m - E_2$	L-L0	V-Vo L-L0
I	12AZ (V-V.) (L-L.)3	3 (V-V ₀) 2 (L-4)	$27 \sqrt{\frac{2A(E_m - E_2)}{M - CE_2}}$	$\frac{2}{3}(E_m-E_2)$
11	$2A\frac{\chi_{s}}{L-L_{o}}\sqrt{E_{z}E_{z}}$	1/V-V. VE(E-CE)	$\sqrt{\frac{36 Z_{s}^{2} (V-V_{o})^{2}}{E_{2} (E_{t}-\frac{C}{A} E_{2})}}$	$\frac{4(E_{m}-E_{2})^{2}(M-CE_{2})}{3E_{2}(AE_{4}-CE_{2})}$
III	$B\left[E_2 - \frac{V - V_0}{L - L_0}\right]$	$\frac{AE_{t}}{2B} + \frac{V-V_{o}}{47_{0}} \sqrt{\frac{E_{t}}{E_{2}}}$	$\frac{B(V-V_o)}{(C+B)E_2-M}$	$\frac{(C+B)E_2-M}{B}$
IV	$\frac{\left E_{2}-\frac{V-V_{0}}{L-L_{0}}\right \left(\frac{1}{8}+\frac{2}{9}+\frac{3}{2}\right)}{\left(1+\frac{9}{8}\right)^{3}\sqrt{\frac{9(L-L_{0})^{2}}{Z_{0}^{2}Ag^{2}}}$	3/9 (L-L)2 N-CE2)2	V 8 AZ3 . Z5	$\frac{2}{3}(1+\frac{9}{8})(1-\frac{3}{4}7).$ $\cdot (E_{m}-E_{2})$

Примем, что $E_2 - E_1 < 2(E_m - E_2)$, тогда можно получить из (18) и (20) результаты, указанные в 1 строке табл. 1. Проанализируем случай, когда максимальное поле в домене не слишком велико по сравнению с E_2 . Из (11) следует

$$E_{m}-E_{2}=\left[1+\frac{E_{2}-E_{1}}{2(E_{m}-E_{2})}\right]\frac{2(E_{m}-E_{2})^{2}(M-CE_{2})}{(AE_{1}-M)E_{2}}$$
(24)

н можно получить выражения:

$$\frac{V - V_0}{L - L_0} = E_2 - \frac{M - CE_2}{B} - \frac{4}{3} \frac{(E_m - E_2)^2 (M - CE_2)}{E_2 (AE_1 - CE_2)}$$
(25)

$$\frac{L-L_0}{\sqrt{2r_D}} = \frac{E_2(AE_1-CE_2)}{\sqrt{(M-CE_2)^3(E_m-E_2)}}.$$
 (26)

При большом приложенном к образцу напряжении E_m заметно больше E_2 и поэтому в правой части (25) можно оставить лишь последний член. Результаты, соответствующие этому случаю, представлены во II строке табл. 1. Выражение для $E_m - E_2$ в этом случае отличается от выражения, полученного в (1), численным коэффициентом и наличием рядом с E_m , V и E_ℓ соответственно E_2 , V_0 и $\frac{CE_2}{a}$. Для

случая сравнительно небольших значений максимального поля в домене в правой части (25) можно пренебречь последним членом.

Результаты, соответствующие этому случаю, собраны в III строке табл. 1.

Если рассмотреть случай, когда в (12)

$$v_{111} = CE_2 + q(E - E_2), \tag{27}$$

то, проводя аналогичным путем расчеты, имеем при q>0

$$\frac{L-L_0}{2r_D} = \sqrt{\frac{A(E_m - E_2)}{M - CE_2}} \left| \frac{AE_2E_1 - CE_2}{2(E_m - E_2)(M - CE_2)} \left(1 - \frac{r}{4} - \frac{r^2}{8} \right) + \right|$$

$$+\frac{r}{3}\left(1-\frac{r}{4}\right)^{2} = \sqrt{A} \frac{E_{2}(AE_{1}-CE_{2})+\frac{2}{3}q(E_{m}-E_{2})^{2}}{\sqrt{2}(E_{m}-E_{2})(M-CE_{2})^{2}}$$
(28)

$$V - V_0 = (E_2 - \frac{M - CE_2}{B}) (L - L_0) + \frac{4}{3} r_D \left(1 + \frac{q}{B}\right) \sqrt{\frac{2Ar}{q}} \left(1 - \frac{3}{4}r\right) \times (E_m - E_2). \tag{29}$$

Злесь
$$r = \frac{q(E_m - E_2)}{M - CE_2} < 2. \tag{30}$$

Наиболее интересен случай, когда

$$\frac{2}{3}q\left(E_m-E_2\right)^2>E_2\left(AE_l-GE_2\right); \tag{31}$$

результаты, соответствующие этому случаю, приведены в IV строке табл. 1.

Растущий с полем участок дрейфовой скорости $v_{\rm III}$ резко ограничипает амплитуду домена. На величину q из (30) и (31) накладывается довольно жесткое требование

$$\frac{64r_D^2A}{9(L-L_0)^2} > q > \frac{3E_2(AE_1 - CE_2)}{(E_m - E_2)^2}.$$
 (32)

Используя результаты, собранные в 1 строке табл. 1, можно получить выражение для $AE_{\mathbf{i}}$ в виде

$$AE_1 = M - 1 / M^2 + AB\Phi E_2^2 - \frac{16A^2r_D^2E_m(E_m - \overline{E_2})}{(L - L_0)^2}$$
(33)

Іля q>0 к члену $AB\Phi E_2^2$ прибавляется $q~(E_m-E_2)^2$. Можно получить также значение K в виде

$$-\frac{K}{n_0} = A(E_l - E_1) \cdot \frac{2exp \frac{L - L^*}{2r_D}}{\left[exp \frac{L - L^*}{2r_D} - 1\right]^2}$$
(34)

где значение $L = L - L_0 = 2r_D \sqrt{\frac{2A(E_m - E_2)}{M - CE_0}}$ найдется из уравнения

$$\frac{L - L^*}{2r_D} = \ln \left| AE_l - CE_2 - \frac{1}{2} \left(\frac{4r_D}{L^*} \right)^2 A(E_m - E_2) \pm \left| A(E_l - E_1) \times A(E_l - E_2) \right| \right| A(E_l - E_2) \times \left| AE_l + AE_1 - 2CE_2 - \left(\frac{4r_D}{L^*} \right)^2 A(E_m - E_2) \right| \left| \frac{1}{2} \right| - \ln \left| AE_1 - CE_2 - \frac{1}{2} \times \left(\frac{4r_D}{L^*} \right)^2 A(E_m - E_2) \right|.$$
(35)

Как известно, домен возникает при $E = E_t$, поэтому L_0 можно считать частью образца, где нет домена: тогда V_0 —падение напряжения на ней. Пз (33)—(35) можно найти значения E_t K, ширины домена. В частности, из (33) следует, что минимально возможный размер СДСП в сильнолегированных полупроводниках равен

$$L_{min} = 4r_D \sqrt{\frac{A(E_m - E_2)(AE_m - CE_2)}{(C^2 + AB\Phi)E_1^2}}$$
(36)

Для GaAs c
$$n_0 = 10^{16}$$
см 3, $E_m = 80 \frac{\kappa B}{cM}$, $A = 5000 \frac{cM^2}{B.CEK}$.

 $E_2 = 20 \, \frac{\kappa_B}{c.m}$, получим $L_{min}^* = 2.6 \, \, \mathrm{mr}$. Оценка показывает, что мини-

мальная ширина СДСП в 160 раз больше ширины треугольного домена Шоттки при тех же параметрах материала. Такие длины, как не являются экстраординарными для современных планарных диодов Ганна ($^{1-5}$).

Институт радиофизики и электроники Академии наук Армянскон ССР

Հայկական ՍՍՀ ԳԱ թղթակից-անդամ՝ Գ. Մ. ԱՎԱԳՑԱՆՑ, Վ. Մ. ՀԱՐՈՒԹՅՈՒՆՅԱՆ

Ուժեղ լեգիբացված կիսանաղուդիչներում Գանի Լֆեկտի տեսության նաւցի չուբչը :

Տեսականորեն հետազոտվում է Գանի դիոդներում և դոմենի ձևի և արա գության կախումը ուժեղ լեգիրացված կիսահաղորդիչների պարամետրերից և սարքին տրված լարումից։

ЛИТЕРАТУРА— ЧРИЧИБИБИБР ВИБЪ

¹ В. L. Gelmont, M. S. Shur, Electron. Lett. 6, 385 (1970). ² Д. Кэролл, СВЧ генераторы на горячих электронах "Мир., М., 1972., ³ А. А. Мереоцова. Зарубежная электронная техника, 6, 3 (1973). ⁴ Р. А. Валитов, Б. И. Макаренко, Э. Д. Прохоров. В кн. Радиопередающие устройства на полупровозниковых приборах, по 1 ред Р. А. Валитова и И. А. Попова. Сов. радко, М., 1973. ⁵ Р. N. Butcher, W. Fawsett, C. Hilsum, Brit. J. Appl. Phys. 17, 841 (1966).